

بِسْمِ اللَّهِ الرَّحْمَنِ الرَّحِيمِ



دانشگاه تربیت مدرس

دانشکده مهندسی عمران و محیط زیست

پایان نامه دوره‌ی کارشناسی ارشد مهندسی عمران - مهندسی آب

## مطالعه آزمایشگاهی آشفتگی در کافال مرکب با سیلابدشت‌های حاوی

### موانع گیاهی مستغرق

سعید دهنؤی

استاد راهنما:

سید علی اکبر صالحی نیشابوری

استاد مشاور:

اکبر صفرزاده

بهار ۱۳۹۲

تَعْدِيمُهُ

امام عصر(عج الله تعالى فرجه شریف)... تا این انتظار سر بر سد...

و

حضرت زهرا (سلام الله عليها)

## قدرتانی

خداآوند علیم و حکیم را سپاسگزارم که استعداد و توان لازم را ارزانی نمود تا بتوانم این اثر ناچیز را به جامعه علمی کشور عزیزم خصوصاً شهدای عرصه علم و فناوری تقدیم نمایم.

بدین وسیله ابتدا از حمایت ها و زحمات پدر پرتلash، مادر دلسوز و همسر مهربانم و سپس از اساتید گرانقدرم، جناب آقایان دکتر سید علی اکبر صالحی نیشابوری، دکتر اکبر صفرزاده، دکتر فرزین نصیری صالح و دکتر مسعود قدسیان کمال تشکر و قدردانی داشته و آرزوی عاقبت بخیری و طول عمر با برکت برایشان دارم.

همچنین از همه دوستانم که من را در انجام این اثر، کمک و یا مشورتی نمودند تشکر می نمایم.

سعید و هنوفی

۱۳۹۲ بهار

## چکیده

سیلاب یا طغیان در رودخانه ها باعث می شود تا سطح مقطع رودخانه از حالت اولیه و اصلی خارج شده و به علت گسترش جریان آب و بالا آمدن سطح آن مقطع عرضی جدیدی به وجود آید. به این مجموعه که شامل یک کanal اصلی و دو سیلابدشت است، مقطع مرکب گفته می شود. در طبیعت معمولاً سیلابدشت ها دارای انواع پوشش گیاهی هستند و به این علت، سرعت جریان در آن کمتر و زبری کف بیشتر است. تا کنون تحقیقات وسیعی بر روی الگوی جریان در کanal مرکب بدون پوشش گیاهی انجام گرفته، اما حالتی که سیلابدشت ها پوشیده از گیاهان مستغرق صلب باشند، مورد بررسی قرار نگرفته است.

در این تحقیق برای بررسی تاثیر پوشش گیاهی صلب مستغرق بر الگوی جریان و به خصوص ساختار آشفتگی در کanal با مقطع مرکب، در آزمایشگاه هیدرولیک دانشگاه تربیت مدرس، پوشش گیاهی با استوانه هایی فلزی مدل سازی شده و در یک ردیف در لبه سیلابدشت با فواصل مشخص جایگذاری شده اند. سپس با استفاده از دستگاه سرعت سنج سه بعدی ADV جانب نگر، مولفه های سرعت نوسانی در سه جهت طولی، عرضی و قائم در مقطع عرضی کanal برداشت و تحلیل شده و نمودارهای توزیع سرعت متوسط طولی، بردارهای جریان ثانویه و تنش های رینولدز  $\rho u'v'$  - و  $\rho v'w'$  - برای جریان با عمق های نسبی  $0/2$  و  $0/36$  ترسیم گردیده اند. همچنین تنش برشی بستر در کanal مرکب ساده با استفاده از ابزار لوله پرستون اندازه گیری گردید.

نتایج حاکی از آن است که مقدار تنش برشی بستر در محل تقاطع کanal اصلی و سیلابدشت، بطور مشخص افزایش یافته، ولی با افزایش عمق نسبی، اختلاف تنش بین کanal اصلی و سیلابدشت کاهش می یابد و توزیع تنش به حالت یکنواخت متمایل می شود. پوشش گیاهی صلب مستغرق نیز، تغییری کلی در الگوی جریان و ساختار آشفتگی به نسبت کanal بدون پوشش گیاهی نداشته و فقط باعث تغییرات موضعی در سرعت طولی، جریان ثانویه و تنش های رینولدز در اطراف خود شده است. همچنین نتیجه گرفته می شود که هر چه عمق جریان در سیلابدشت کمتر شود، الگوی جریان در کanal مرکب به الگوی جریان در کanal ساده نزدیک تر شده و تاثیر وجود سیلابدشت بر آن کمتر می شود. کم شدن عمق جریان باعث می شود تا موانع تاثیر بیشتری بر پدیده انتقال ممتد از کanal اصلی به سیلابدشت داشته باشند، اما باعث توقف انتقال ممتد از کanal اصلی به سیلابدشت نمی شده اند.

**کلمات کلیدی:** کanal مرکب، پوشش گیاهی، آشفتگی، انتقال ممتد، تنش رینولدز

## فهرست مطالب

صفحه	عنوان
ج	فهرست عالیم و نشانه‌ها
۵	فهرست جدول‌ها
و	فهرست شکل‌ها
۱	فصل ۱ - کلیات
۱	۱-۱ پیشگفتار
۲	۲-۱ اهداف تحقیق
۳	۳-۱ محدودیت‌های تحقیق
۳	۴-۱ ساختار پایان نامه
۵	فصل ۲ - مرور منابع و بیان جنبه‌های نوآوری تحقیق
۵	۱-۲ مقدمه
۵	۲-۲ الگوی جریان در کanal مرکب
۵	۱-۲-۲ پدیده اثر متقابل
۸	۱-۱-۲-۲ عمق نسبی
۹	۲-۱-۲-۲ نسبت زبری سیلابدشت به زبری کanal اصلی
۱۰	۱-۲-۲ نسبت عرض کل مقطع سیلایی به عرض کanal اصلی
۱۰	۴-۱-۲-۲ شبیجانی مقطع اصلی
۱۰	۲-۲-۲ لایه برشی
۱۱	۳-۲-۲ گردابه‌ها و جریان‌های ثانویه
۱۳	۴-۲-۲ تنش برشی مرزی
۱۵	۳-۲ بررسی اثر پوشش گیاهی در کanal مرکب
۱۵	۱-۳-۲ نیروی پسا
۱۶	۲-۳-۲ تاثیر بر خصوصیات کلی جریان
۱۷	۳-۳-۲ جریان‌های ثانویه
۱۷	۴-۳-۲ تنش برشی مرزی
۱۹	۴-۲ خصوصیات جریان اطراف یک ردیف استوانه در کanal مستطیلی
۱۹	۱-۴-۲ سان و شیونو
۲۲	۲-۴-۲ سانجو و همکاران
۲۳	۵-۲ جمع‌بندی مطالب
۲۴	۶-۲ ضرورت انجام و نوآوری تحقیق
۲۶	فصل ۳ - تجهیزات آزمایشگاهی

۲۶	- ۱-۳ مقدمه.....
۲۶	- ۲-۳ فلوم آزمایشگاهی.....
۳۰	- ۳-۳ مقطع عرضی کانال مرکب.....
۳۰	- ۴-۳ دستگاه سرعت سنج سه بعدی.....
۳۲	- ۱-۴-۳ داده های نادرست در سری های زمانی دستگاه سرعت سنج ADV و نحوه اصلاح آنها.....
۳۵	- ۵-۳ روبات جابجایی حسگر سرعت سنج و نرم افزار ثبت و پردازش داده ها.....
۳۶	- ۶-۳ دستگاه اندازه گیری تنش برشی بستر.....
۳۷	- ۱-۱-۶-۳ ابزارهای فشار، لوله پرستون و حسگر یا و.....
۴۰	- ۷-۳ موانع گیاهی.....
۴۲	- ۸-۳ صفحات هموار کننده جریان.....
۴۲	- ۹-۳ خط کش دیجیتال.....
۴۴	<b>فصل ۴ - نتایج و بحث.....</b>
۴۴	- ۱-۴ مقدمه.....
۴۴	- ۲-۴ تنش برشی بستر.....
۴۴	- ۱-۲-۴ مشخصات آزمایش های انجام شده.....
۴۴	- ۲-۲-۴ تعیین طول زمانی مناسب اندازه گیری.....
۴۵	- ۳-۲-۴ الگوی متوسط توزیع تنش برشی بستر.....
۴۸	- ۳-۴ ساختار آشفتگی.....
۴۸	- ۱-۳-۴ مشخصات آزمایش ها.....
۵۱	- ۲-۳-۴ روش مطالعه جریانهای آشفته در کanal مرکب.....
۵۲	- ۳-۳-۴ ساختار آشفتگی برای حالت T-R1-1.....
۵۷	- ۴-۳-۴ ساختار آشفتگی برای حالت T-R1-2.....
۶۱	- ۵-۳-۴ ساختار آشفتگی برای حالت T-R1-3.....
۶۴	- ۶-۳-۴ تاثیر صفحات هموار کننده جریان.....
۶۵	- ۷-۳-۴ ساختار آشفتگی برای حالت T-R2-1.....
۶۷	- ۸-۳-۴ ساختار آشفتگی برای حالت T-R2-2.....
۷۱	- ۹-۳-۴ ساختار آشفتگی برای حالت T-R2-3.....
۷۵	<b>فصل ۵ - نتیجه گیری و ارائه پیشنهادها.....</b>
۷۵	- ۱-۵ نتیجه گیری.....
۷۷	- ۲-۵ پیشنهادها.....
۷۸	<b>فهرست مراجع .....</b>

## فهرست علایم و نشانه‌ها

علامت اختصاری

عنوان

$U_d$	سرعت میانگین در عمق
$H$	عمق آب
$B$	عرض کanal
$D_r$	عمق نسبی
$F_D$	نیروی پسا
$A_p$	سطح استوانه
$U$	سرعت
$C_D$	ضریب پسا
$d$	قطر مانع
$\Delta S$	فاصله بین موانع
$u$	سرعت
$\rho$	چگالی آب
$p$	فشار موضعی
$\tau_0$	تنش برشی جریان نزدیک شونده
$B$	عرض کanal
$\rho$	جرم مخصوص آب
$v$	لزجت سینماتیکی
$z$	مختصات قائم کanal
$D_p$	قطر بیرونی لوله
$\Delta P$	فشار هیدرودینامیک موضعی
$\rho$	جرم مخصوص آب
$\Delta P$	فشار هیدرودینامیک موضعی
$D_p$	قطر بیرونی لوله
$\rho$	جرم مخصوص آب
$\tau_0$	تنش برشی جریان نزدیک شونده
$v$	لزجت سینماتیکی
$X^*$	مختصات طولی بی بعد شده
$Y^*$	مختصات عرضی بی بعد شده

$D^+$	پارامتر بی بعد قطر لوله پرستون
$u_*$	سرعت برشی
$Z^+$	پارامتر بی بعد فشار
$Q$	دبی
$NY$	تعداد نقاط اندازه گیری در راستای عمقی
$NZ$	تعداد نقاط اندازه گیری در راستای عرضی
$u'$	مقدار نوسانی طولی سرعت
$v'$	مقدار نوسانی عرضی سرعت
$w'$	مقدار نوسانی عمقی سرعت
$Y$	راستای عمقی جریان

## فهرست جداول‌ها

عنوان	صفحه
جدول ۱-۲ - پارامترهای هندسی استفاده شده در آزمایشات سان و شیونو (۲۰۰۹)	۲۰
جدول ۱-۳ - مشخصات کلی فلوم مورد استفاده در تحقیق.....	۲۷
جدول ۱-۴ - جزئیات آزمایش های تنش برشی.....	۴۴
جدول ۲-۴ - مشخصات جریان.....	۴۸
جدول ۳-۴ - مشخصات آزمایش های بررسی آشفتگی و الگوی جریان.....	۴۹
جدول ۴-۴ - مشخصات شبکه بندي مورد استفاده.....	۵۱

## فهرست شکل‌ها

صفحه	عنوان
------	-------

---

۲	شکل ۱-۱- یک ردیف درخت در فصل مشترک کanal مرکب رودخانه ننه انگلیس.....
۶	شکل ۱-۲- ساختار جریان در کanal مرکب (شیانو و نایت ۱۹۹۱).....
۶	شکل ۲-۲- ساختار گردابه های همراه جریان و مشاهده مفهومی انتقال ممنتوم (Fukouka & Fujita, 1989).....
۶	شکل ۳-۲- گردابه های مشاهده شده در محل تقاطع کanal اصلی و سیلاندشتها (Sellin, 1964).....
۷	شکل ۴-۲- مقطع مرکب و علائم مورد استفاده.....
۹	شکل ۵-۲- ضریب اصلاحی دبی نسبت به عمق نسبی در مقطع مرکب همگن (Acker, ۱۹۹۳).....
۱۲	شکل ۶-۲- الگوی جریان برای کanal مرکب مستقیم به ازای نسبت عمقهای مختلف (تامیناگا و نزو، ۱۹۹۱).....
۱۳	شکل ۷-۲- گردابه های چرخشی در راستای طولی و بردار های جریان ثانویه با استفاده از روش LES (کارا و همکاران ۲۰۱۲).....
۱۳	شکل ۸-۲- نمودراهای همتراز سرعت در راستای طولی جریان با استفاده از روش LES (کارا و همکاران ۲۰۱۲).....
۱۴	شکل ۹-۲- توزیع تنیش برشی مرزی در کanal مرکب برای عمق نسبیهای مختلف (کانگ ۲۰۰۶).....
۱۷	شکل ۱۰-۲- منحنی های همتراز توزیع سرعت طولی جریان (جاهره و همکاران, ۲۰۱۱).....
۱۸	شکل ۱۱-۲- بردار های جریان ثانویه در نزدیکی انتهای ناحیه پوشش گیاهی (جاهره و همکاران, ۲۰۱۱).....
۱۹	شکل ۱۲-۲- تنیش برشی بستر برای اعداد فرود $FR_1 = 0/1$ , $FR_2 = 0/24$ , $FR_3 = 0/4$ (نزو و آنیتسوکا ۲۰۰۱).....
۲۰	شکل ۱۳-۲- چیدمان آزمایشات بر روی کanal مرکب (سان و شیونو, ۲۰۰۹).....
۲۱	شکل ۱۴-۲- خطوط هم تراز سرعت جهت جریان بدون بعد ( $U/U_m$ ) (سان و شیونو ۲۰۰۹).....
۲۱	شکل ۱۵-۲- توزیع جانبی سرعت متوسط در عمق و تنیش برشی بستر در کanal گیاهدار (STC4) و بدون گیاه (STC3) برای عمق نسبی $D_r = 0/25$ (سان و شیونو ۲۰۰۹).....
۲۳	شکل ۱۶-۲- نمونهای از بردارهای سرعت لحظهای محاسبه شده (سانجو و نزو ۲۰۱۰-a).....
۲۴	شکل ۱۷-۲- توزیع تنیش رینولوز (سانجو و همکاران b ۲۰۱۰).....
۲۸	شکل ۱-۳- نمای کلی از فلوم آزمایشگاهی برای انجام تحقیق به همراه جزئیات تبدیل های ورودی و سریز انتهایی.....
۲۹	شکل ۲-۳- پلان و شکل فلوم آزمایشگاهی به همراه اندازه های کلی.....
۳۰	شکل ۳-۳- مقطع عرضی کanal مرکب.....

شکل ۴-۳- شمای کلی سرعت سنج ADV و موقعیت حجم نمونه گیری نسبت به سنسور ۳۱.....(Chanson et al. ۲۰۰۸)
شکل ۵-۳- نمونه ای از سری زمانی سرعت دارای داده های غلط ثبت شده توسط سرعت سنج ADV در ۳۴.....نزدیکی بستر کanal
شکل ۶-۳- سیستم خودکار جابجایی سرعت سنج ADV ۳۶.....
شکل ۷-۳- لوله های فشار کل و فشار هیدرواستاتیک در ابزار لوله پرستون.....۳۸
شکل ۸-۳- نمای سه بعدی از حسگر آزمایشگاهی به همراه ابزار کالیبراسیون و نحوه قرار گیری ۴۱.....سنسورهای فشار
شکل ۹-۳- فاصله موانع گیاهی با یکدیگر.....۴۱
شکل ۱۰-۳- نمایی از مانع گیاهی.....۴۱
شکل ۱۱-۳- نحوه قرارگیری مانع در امتداد سیلاندشت.....۴۲
شکل ۱۲-۳- نمایی از صفحات هموار کننده جریان در ابتدای کanal.....۴۳
شکل ۱۴- سری های زمانی تنش برشی و مربع نوسانات در محل فصل مشترک سیلاندشت و مجرای اصلی برای آزمایش شماره ۳.....۴۵
شکل ۲-۴- توزیع عرضی تنش برشی بر روی بستر مجرای اصلی و سیلاندشت به ازای سه عمق نسبی ۴۶..... مختلف
شکل ۳-۴- توزیع عرضی تنش برشی بدون بعد شده بستر (خط عمودی وسط نشان دهنده محل تقاطع کanal اصلی و سیلاندشت است) (کارا و همکاران ۲۰۱۲).....۴۷
شکل ۵-۴- شبکه بندي غير یکنواخت برای جریان با عمق نسبی ۰/۳۶.....۵۰
شکل ۶-۴- شبکه بندي غير یکنواخت برای جریان با عمق نسبی ۰/۲.....۵۰
شکل ۴-۴- مقطع بین موانع و روی موانع.....۵۰
شکل ۸-۴- نمودار همتراز سرعت در راستای طولی جریان با عمق نسبی ۰/۵ با استفاده از روش LES (کارا و همکاران ۲۰۱۲).....۵۳
شکل ۹-۴- نمودار همتراز سرعت در راستای طولی جریان با عمق نسبی ۰/۵ حاصل تحقیقات آزمایشگاهی (تامینگا و نزو ۱۹۹۱).....۵۳
شکل ۷-۴- توزیع سرعت متوسط طولی (T-R1-1).....۵۳
شکل ۱۰-۴- بردارهای سرعت جریان ثانویه (T-R1-1).....۵۴
شکل ۱۱-۴- بردارهای جریان ثانویه با استفاده از روش LES برای جریان با عمق نسبی ۰/۵ (کارا و همکاران ۲۰۱۲).....۵۴
شکل ۱۲-۴- بردارهای جریان ثانویه برای جریان با عمق نسبی ۰/۵ حاصل تحقیقات آزمایشگاهی (تامینگا و نزو ۱۹۹۱).....۵۴
شکل ۱۳-۴- توزیع تنش رینولدز بی بعد شده $(T-R1-1) - \rho \bar{u}'v' / U_{max}^2$ .....۵۵
شکل ۱۴-۴- توزیع تنش رینولدز بی بعد شده $(T-R1-1) - \rho \bar{u}'w' / U_{max}^2$ .....۵۶
شکل ۱۵-۴- توزیع تنش رینولدز بی بعد شده $(T-R1-1) - \rho v'w' / U_{max}^2$ .....۵۶

۵۶.....	شکل ۱۶-۴- توزیع قائم تنش های رینولدز در $Z/Bm=0/75$
۵۷.....	شکل ۱۷-۴- توزیع تنش رینولدز بی بعد شده (کارا و همکاران ۲۰۱۲)
۵۸.....	شکل ۱۸-۴- توزیع سرعت متوسط طولی (T-R1-2)
۵۸.....	شکل ۱۹-۴- توزیع سرعت میانگین عمقی در عرض کanal در دو حالت (T-R1-2) و (T-R1-1)
۵۹.....	شکل ۲۰-۴- بردار های سرعت جریان ثانویه (T-R1-2)
۵۹.....	شکل ۲۱-۴- توزیع تنش رینولدز بی بعد شده $(T-R1-2) - \rho \bar{u}' \bar{v}' / U_{max}^2$
۶۰.....	شکل ۲۲-۴- توزیع تنش رینولدز بی بعد شده $(T-R1-2) - \rho \bar{u}' \bar{w}' / U_{max}^2$
۶۰.....	شکل ۲۳-۴- توزیع تنش رینولدز بی بعد شده $(T-R1-2) - \rho \bar{v}' \bar{w}' / U_{max}^2$
۶۰.....	شکل ۲۴-۴- مقایسه توزیع قائم تنش رینولدز $\rho \bar{u}' \bar{w}'$ در $Z/Bm=1/1$ در دو حالت (T-R1-2) و (T-R1-1)
۶۱.....	شکل ۲۵-۴- توزیع سرعت متوسط طولی (T-R1-3)
۶۲.....	شکل ۲۶-۴- توزیع سرعت میانگین عمقی در عرض کanal در دو حالت (T-R1-3) و (T-R1-1)
۶۲.....	شکل ۲۷-۴- بردار های سرعت جریان ثانویه (T-R1-3)
۶۳.....	شکل ۲۸-۴- توزیع تنش رینولدز بی بعد شده $(T-R1-3) - \rho \bar{u}' \bar{v}' / U_{max}^2$
۶۳.....	شکل ۲۹-۴- توزیع تنش رینولدز بی بعد شده $(T-R1-3) - \rho \bar{u}' \bar{w}' / U_{max}^2$
۶۴.....	شکل ۳۰-۴- توزیع تنش رینولدز بی بعد شده $(T-R1-3) - \rho \bar{v}' \bar{w}' / U_{max}^2$
۶۴.....	شکل ۳۱-۴- خطوط هم سرعت در کanal مرکب بدون وجود صفحات هموار کننده جریان در ورودی کanal در حالت (T-R2-2)
۶۵.....	شکل ۳۲-۴- خطوط هم سرعت در کanal مرکب با وجود صفحات هموار کننده جریان در ورودی کanal در حالت (T-R2-2)
۶۵.....	شکل ۳۳-۴- توزیع سرعت متوسط طولی (T-R2-1)
۶۶.....	شکل ۳۴-۴- مقایسه توزیع سرعت متوسط عمقی در جریان های با عمق های نسبی $0/2$ و $0/36$
۶۶.....	شکل ۳۵-۴- بردار های سرعت جریان ثانویه (T-R2-1)
۶۷.....	شکل ۳۶-۴- توزیع تنش رینولدز بی بعد شده $(T-R2-1) - \rho \bar{u}' \bar{v}' / U_{max}^2$
۶۷.....	شکل ۳۷-۴- توزیع تنش رینولدز بی بعد شده $(T-R2-1) - \rho \bar{u}' \bar{w}' / U_{max}^2$
۶۷.....	شکل ۳۸-۴- توزیع تنش رینولدز بی بعد شده $(T-R2-1) - \rho \bar{v}' \bar{w}' / U_{max}^2$
۶۸.....	شکل ۳۹-۴- توزیع سرعت متوسط طولی (T-R2-2)
۶۸.....	شکل ۴۰-۴- توزیع سرعت میانگین عمقی در عرض کanal در دو حالت (T-R2-2) و (T-R2-1)
۶۹.....	شکل ۴۱-۴- بردار های سرعت جریان ثانویه (T-R2-2)
۶۹.....	شکل ۴۲-۴- توزیع تنش رینولدز بی بعد شده $(T-R2-2) - \rho \bar{u}' \bar{v}' / U_{max}^2$
۷۰.....	شکل ۴۳-۴- توزیع تنش رینولدز بی بعد شده $(T-R2-2) - \rho \bar{u}' \bar{w}' / U_{max}^2$
۷۰.....	شکل ۴۴-۴- توزیع تنش رینولدز بی بعد شده $(T-R2-2) - \rho \bar{v}' \bar{w}' / U_{max}^2$
۷۰.....	شکل ۴۵-۴- مقایسه توزیع قائم تنش رینولدز $\rho \bar{u}' \bar{v}'$ در $Z/Bm=1/05$ در دو حالت (T-R2-2) و (T-R2-1)

- شکل ۴-۴- مقایسه توزیع قائم تنش رینولدز  $\rho \overline{u'w'}$  - در دو حالت (T-R2-2) و (T-R2-1)  
 ۷۱ ..... R2-1)
- شکل ۴-۵- توزیع سرعت متوسط طولی (T-R2-3) ..... ۷۱
- شکل ۴-۶- توزیع سرعت میانگین عمقی در عرض کanal در دو حالت (T-R2-3) و (T-R2-1)  
 ۷۲ ..... ۷۲
- شکل ۴-۷- بردار های سرعت جریان ثانویه (T-R2-3) ..... ۷۲
- شکل ۴-۸- توزیع تنش رینولدز بی بعد شده  $(T-R2-3) - \rho \overline{u'v'} / U_{\max}^2$  ..... ۷۳
- شکل ۴-۹- توزیع تنش رینولدز بی بعد شده  $(T-R2-3) - \rho \overline{u'w'} / U_{\max}^2$  ..... ۷۳
- شکل ۴-۱۰- توزیع تنش رینولدز بی بعد شده  $(T-R2-3) - \rho \overline{v'w'} / U_{\max}^2$  ..... ۷۳
- شکل ۴-۱۱- مقایسه توزیع قائم تنش رینولدز  $Z/Bm = ۰/۹$  - در  $\rho \overline{u'v'}$  ..... ۷۴

## فصل ۱ - کلیات

### ۱-۱ - پیشگفتار

سیل یکی از عواملی است که بیشترین خسارت و تخریب را بر رودخانه و محیط اطراف آن وارد می‌آورد. رودخانه معمولاً بسته به شرایط هیدرولوژیکی و هیدرولیکی حاکم بر حوزه آبریز آن، به شرایط تعادل و پایداری می‌رسد، اما در شرایطی که رواناب تولید شده در اثر باران از ظرفیت مقطع اصلی رودخانه بیشتر باشد، آن شرایط به هم خورده و باعث سرریزی جریان از درون مقطع اصلی رودخانه به اراضی مجاور آن یا اصطلاحاً سیلابدشت‌ها می‌شود که در این حالت دو نوع جریان با عمق و سرعت زیاد درون مقطع اصلی و دیگری جریان کم عمق و سطحی در سیلابدشت‌های مجاور وجود دارد. در چنین شرایطی مقطع کanal یا رودخانه را مقطع مرکب می‌نامند، چرا که از چندین مقطع جزئی تشکیل شده است (Yang and Knight , 2007).

در این حالت دو عامل باعث تبادل شدید ممتد و دبی بین مقطع اصلی و سیلابدشت‌ها می‌شود، یکی گردابه‌های بزرگ مقیاس که در اثر گرادیان سرعت شدید بین مقطع اصلی و سیلابدشت‌ها به وجود می‌آیند و دیگری در اثر تغییرات هندسه و غیر منشوری بودن کanal است (Prooijen et al., 2005).

در طبیعت معمولاً سیلاب دشت‌ها دارای شبیه عرضی و پوشیده از گیاهان و یا شامل عوارض طبیعی دیگر هستند و تقارن در آن کمتر دیده می‌شود و به این دلیل، زبری کف بیشتر و سرعت جریان در آن کمتر از سرعت جریان در کanal اصلی است. در گذشته وجود پوشش گیاهی در سیلابدشت از نظر مهندسین رودخانه به عنوان یک مشکل، از نظر ایجاد مانع و کاهش ظرفیت جریان، تلقی می‌شده است. اگرچه وجود گیاهان در سیلابدشت پیچیدگی بررسی جریان کanal مرکب را بیشتر می‌کند، اما امروزه مهندسین رودخانه به دنبال حفظ گیاهان ساحل رودخانه و سیلابدشت هستند، زیرا پوشش گیاهی به لحاظ نقش اکولوژیکی مورد توجه است.

نیروی پسای وارد بر گیاهان به اندازه‌ای است که در مدل کردن اثر کanal اصلی و سیلابدشت بر یکدیگر، نمی‌توان از آن صرف نظر کرد. پوشش گیاهی بر انتقال آب و رسوب بین کanal اصلی و نواحی دارای گیاه تاثیر می‌گذارد. مشاهدات سواحل رودخانه‌ها نشان داده که وجود یک ردیف پوشش گیاهی در امتداد سیلابدشت حالتی معمولی است. این پوشش گیاهی می‌تواند درخت یا درختچه باشد که به طرق مختلفی در سیلابدشت قرار گرفته‌اند. شکل ۱-۱ یک ردیف درخت در فصل مشترک کanal مرکب رودخانه نه<sup>۱</sup> انگلیس را نشان می‌دهد.

<sup>۱</sup> Nene



شکل ۱-۱- یک ردیف درخت در فصل مشترک کanal مركب رودخانه نه انگلیس

از یک ردیف پوشش گیاهی ممکن است برای اهدافی از قبیل پایدارسازی کناره ساحل، تقویت تنوع زیست محیطی یا اهداف زیباسازی مناظر استفاده شود. با این وجود امروزه اطلاعات کمی در مورد اثر اینگونه چیدمان بر ساختار جریان اطراف پوشش گیاهی جود دارد. به منظور حفاظت در مقابل سیلاب و حفظ محیط زیست درک بهتری از اثر هیدرولیکی این چیدمان بر جریان لازم است.

## ۲-۱- اهداف تحقیق

در یک کanal مركب با سیلابدشت های دارای موائع گیاهی، مشابه حالتی که در سیلابدشت ها گیاهی وجود نداشت، لایه برشی جانبی در محل تقاطع سیلابدشت و کanal اصلی باعث انتقال ممنتوم می شود. ولی زمانی که موائع گیاهی هم افزوده می شود، گیاهان باعث تحمیل مقاومت اضافی به جریان روی سیلابدشت ها می شوند و اختلاف سرعت بیشتری را بین کanal اصلی و سیلابدشت ها سبب می گردند و باعث انتقال شدیدتر ممنتوم در مقایسه با همان کanal در حالت بدون گیاه و با همان عمق نسبی می گردد.

در این وضعیت، انحراف سرعت در محل سطح مشترک ناحیه پوشیده از گیاهان و ناحیه بدون گیاهان دیده می شود. شدت آشفتگی و تنش های برشی رینولدز در سطح مشترک به بیشترین مقدار خود می رسد و مقدار آنها با افزایش عمق آب در بالای ناحیه پوشیده از گیاهان افزایش می یابد (Tsujimoto et al. 1992)

این تحقیق سعی بر آن دارد تا برای بررسی تاثیرات موائع گیاهی بر جریان در حالتی که سیلابدشت های کanal مركب دارای موائع گیاهی مستغرق باشد، ساختارهای لحظه‌ای و خصوصیات آشفتگی جریان را بررسی نموده و با اندازه گیری سرعت میانگین زمانی در طول و عمق، پروفیل سرعت را به دست آورده،

سپس مولفه های آشفتگی، تنش های رینولدز، جریان ثانویه و تنش برشی بستر را اندازه گیری نماید، تا بتوان اثرات مواد میانجی ای مستغرق را بر جریان در کanal مرکب بررسی نمود.

### ۱-۳- محدودیت های تحقیق

- کanal آزمایشگاهی دارای مقطع مرکب مستطیلی بوده و بستر و جداره ها فرسایش پذیر نمی باشند.
- آزمایشات انجام شده برای حالت پوشش گیاهی یک ردیفه در امتداد سیلاندشت می باشد
- برای مدلسازی پوشش گیاهی از استوانه هایی با محور عمود بر سیلاندشت استفاده شده، که مدل ساده شده ای برای گیاهان است.

### ۱-۴- ساختار پایان نامه

این پایان نامه مشتمل بر پنج فصل بشرح زیر می باشد.

#### فصل اول: کلیات

در این فصل به تعریف کanal مرکب دارای پوشش گیاهی در سیلاندشت ها، اهداف و محدودیت های تحقیق حاضر پرداخته شده است.

#### فصل دوم: مرور منابع و بیان جنبه های نوآوری تحقیق

در این فصل مهمترین تحقیقات انجام گرفته در زمینه الگوی جریان در کanal مرکب، پدیده اثر متقابل و سپس تاثیر حضور پوشش گیاهی به خصوص پوشش تک ردیفه در امتداد سیلاندشت بر الگوی جریان بیان گردیده است.

#### فصل سوم: تجهیزات آزمایشگاهی و ابزار های اندازه گیری میدان جریان

برای مشاهده الگوی جریان در کanal مرکب و ساختار آشفتگی، تجهیزات آزمایشگاهی مورد استفاده در آزمایشگاه هیدرولیک مانند دستگاه سرعت سنج سه بعدی و ... معرفی و به نحوه استفاده از آنها اشاره شده است.

#### فصل چهارم: نتایج و بحث

در این فصل مشخصات آزمایش های انجام شده و نتایج حاصل از آن مانند توزیع تنش برشی بستر، توزیع سرعت متوسط طولی بی بعد شده با سرعت حداکثر، جریان های ثانویه، توزیع تنش های رینولدز ارائه گردیده و پیرامون نتایج بحث شده است.

#### فصل پنجم: نتیجه گیری و ارائه پیشنهادات

جمع بندی کلی از تحقیق حاضر ارائه و تأثیر پوشش گیاهی بر الگوی جریان در کanal مركب متفاوت بیان شده است. همچنین برای تحقیقات آینده پیشنهادهایی ارائه شده است.

## **فصل ۲ - مرور منابع و بیان جنبه های نوآوری تحقیق**

### **۱-۲ - مقدمه**

در طبیعت، اکثر رودخانه‌ها سیلابدشت‌هایی دارند که اغلب در دو طرف آنها به صورت جانبی واقع شده‌اند. برای بررسی اثر پوشش گیاهی در امتداد سیلابدشت در کanal مرکب، ابتدا باید ساختار جریان در کanal مرکب بدون پوشش گیاهی را که دارای پیچیدگی کمتری است مورد مطالعه قرار داد. لذا در این فصل ابتدا خلاصه‌ای از یافته‌های الگوی جریان در کanal مرکب ساده که توسط محققین مختلف انجام پذیرفته است، مورد بررسی قرار می‌گیرد.

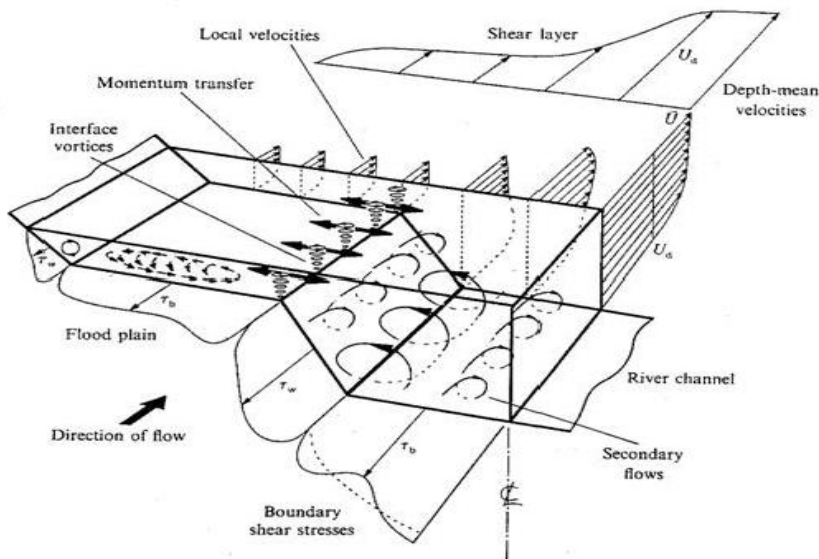
سپس تحقیقات انجام شده در مورد اثرات پوشش گیاهی در حالت کلی در کanal مرکب مورد مطالعه قرار گرفته و برای درک بیشتر از اثر پوشش گیاهی تک ردیفه در امتداد سیلابدشت که هدف اصلی این تحقیق می‌باشد، تحقیقات انجام شده با این موضوع به طور مجزا بررسی می‌شوند.

### **۲-۲ - الگوی جریان در کanal مرکب**

#### **۱-۲-۲ - پدیده اثر متقابل**

پدیده اثر متقابل یا به عبارتی دیگر اندرکنش جریان در کanal اصلی و سیلابدشت‌ها به عنوان عامل کاهش سرعت در مقطع اصلی و نهایتاً کل سرعت در مقاطع مرکب شناخته شده است. این عامل یک مقاومت اضافی است که ناشی از شکل مقطع است (Yen، 2002). ساده‌ترین مطلبی که بتوان این پدیده را توضیح داد توسط میرز در سال ۱۹۹۷ ارائه شد. ایشان دلیل پدیده اندرکنش را نتیجه انتقال ممنتوم بیان می‌کنند که با استفاده از اندازه گیری و بررسی تنش برشی در ناحیه اتصال کرانه سیلابی به این موضوع پی بردن. سپس راجاراتنم و احمدی (۱۹۸۱)، نایت و حامد (۱۹۸۴) اقدام به اندازه گیری سرعت کردند و در مشاهدات خود نشان دادند که پروفیل قائم سرعت و تنش برشی در نزدیکی سطح تلاقی کanal اصلی به وسیله انتقال مومنت منحرف می‌شود (Altinakar، 2002).

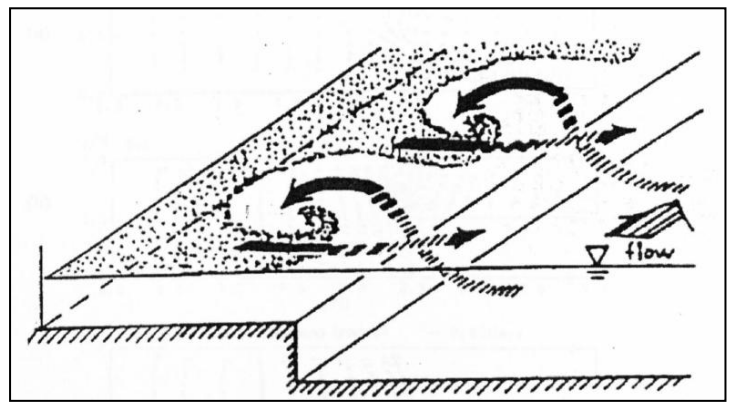
به هر صورت طرح‌ها و عکس‌هایی از این پدیده که در اشکالشکل ۱-۲ و شکل ۲-۲ نشان داده شده است، باعث شکل گیری تصوری اولیه از این پدیده می‌شود. در این شکل‌ها ساختارهای سه بعدی جریان با مقیاس زمانی و مکانی خود در کanal با مقطع مرکب، که به اختصار کanal مرکب نامیده می‌شود، نشان داده شده است. در ناحیه مورد توجه در این تحقیق یا به عبارت دیگر، بالای مقطع اصلی کanal و در لبه سیلابدشت، گردابه‌های بزرگ مرتبط با یکدیگر وجود دارند که به تنها‌ی بسیار مهم هستند (شیانو و نایت ۱۹۹۱).



شکل ۱-۲- ساختار جریان در کanal مرکب (شیانو و نایت ۱۹۹۱)



شکل ۳-۲- گردابه های مشاهده شده در محل تقاطع کanal اصلی و سیلابدشتها (Sellin, 1964)



شکل ۲-۲- ساختار گردابه های همراه جریان و مشاهده مفهومی انتقال ممنتو (Fukouka & Fujita, 1989)

یکی از ویژگی های مهم که اولین بار توسط سلین در سطح آب عکس برداری شد، گردابه هایی با محور قائم هستند که در شکل ۳-۲ نشان داده شده است. این گردابه ها در ناحیه برشی بین جریان های با سرعت های متفاوت توسعه می یابند و در شکل ۱-۲ به عنوان گردابه های رابط<sup>۲</sup> و در شکل ۲-۲ به صورت گردابه بزرگی که ممنتو سیال بزرگی را از مقطع اصلی به سیلابدشت ها انتقال می دهنند، نشان داده شده

<sup>۲</sup> Interface Vortices